

# Query-by-Sketch: Scaling Shortest Path Graph Queries on Very Large Networks

Paweł Polerowicz

Styczeń 2024

## 1 Wiadomości wstępne

### 1.1 Informacje o artykule

- Tytuł: Query-by-Sketch: Scaling Shortest Path Graph Queries on Very Large Networks
- Autorzy: Ye Wang, Qing Wang, Henning Koehler, Yu Lin
- Data publikacji: 2021
- miejsce publikacji: Proceedings of the 2021 International Conference on Management of Data

### 1.2 Słowniczek pojęć

Oznaczenie	Znaczenie
$G(V, E)$	graf (tu nieskierowany i spójny)
$P_{uv}$	zbiór najkrótszych ścieżek między wierzchołkami $u$ i $v$
$d_G(u, v)$	długość najkrótszej ścieżki między $u$ i $v$
$R \subset V$	zbiór punktów orientacyjnych (ang. <i>Landmarks</i> )
$L(v) = \{(r_1, \delta_{vr_1}), \dots, (r_n, \delta_{vr_n})\}$	zbiór etykiet wierzchołka $v$
$\delta_{vr_i}$	$= d_G(v, r_i)$
$L = \{L(v)\}_{v \in V}$	etykietowanie nad $G$
$size(L) = \sum_{v \in V}  L(v) $	rozmiar etykietowania

### 1.3 Plan prezentacji

W ramach niniejszej prezentacji zreferujemy artykuł *Query-by-Sketch: Scaling Shortest Path Graph Queries on Very Large Networks*, przedstawiający metodę QbS. Składa się ona z trzech algorytmów. Pierwszy z nich służy jako przetwarzanie wstępne. Jest wykonywany raz i wyznacza etykietowanie  $L$  dla grafu  $G$ . Drugi tworzy szkic danych dla pary wierzchołków  $u$  i  $v$  na podstawie etykietowania  $L$ . Ostatni wyznacza dokładną odpowiedź, wykorzystując przeszukiwanie kierowane szkicem. Złożoności algorytmów to kolejno  $O(|R||E|)$ ,  $O(|R|^4)$  (z możliwością ograniczenia do  $O(|R|^2)$ ) oraz  $O(|E| + |R||V|)$ , gdzie  $R$  jest zbiorem punktów orientacyjnych.

### 1.4 Motywacja

Podczas poprzednich prezentacji omawialiśmy struktury wykorzystujące szkice danych do efektywnego pamięciowo przechowywania informacji o strumieniowanym grafie. W szczególności rozważaliśmy takie konstrukcje, które pozwalały na uzyskiwanie szybkich odpowiedzi na zapytania o istnienie i wagę krawędzi między dwoma wierzchołkami,

a także łączną wagę krawędzi wchodzących i wychodzących z danego wierzchołka. Niemniej jednak często zależy nam na wykonywaniu bardziej skomplikowanych operacji. Jedną z typowych może być wyznaczanie najkrótszych ścieżek między wierzchołkami. Rozwiązania tego problemu mogą znaleźć swoje zastosowanie np. w nawigacji GPS lub w analizie sieci społecznościowych. W obu przypadkach mamy do czynienia z grafami o nierzadko ogromnych rozmiarach. Sprawia to, że klasyczne i dobrze przebadane algorytmy mogą okazać się nieskuteczne, ze względu na konieczność przeglądu zatrważającej liczby krawędzi lub wykorzystywania dodatkowej pamięci o niepraktycznym rozmiarze. Dodatkowo niejednokrotnie możemy być zainteresowani wyborem nie jednej ścieżki, lecz pewnego zbioru najkrótszych lub prawie najkrótszych ścieżek. Śledząc wysiłki autorów artykułu, spróbujemy znaleźć metodę wyznaczania grafu najkrótszych ścieżek w sposób wydajny czasowo i przy użyciu rozsądnej ilości pamięci.

## 2 Problem

### 2.1 Sformułowanie problemu

#### 2-hop distance cover (dwu-przeskokowe pokrycie odległości :))

Etykietowanie  $L$  grafu  $G$  stanowi 2-hop distance cover, jeśli zachodzi

$$\forall_{u,v \in V} d_G(u,v) = \min\{\delta_{ur} + \delta_{vr} : (r, \delta_{ur}) \in L(u), \delta_{vr} \in L(v)\}$$

Innymi słowy, wymagamy, aby dla każdej pary wierzchołków, ich etykiety zawierały co najmniej jeden wspólny punkt orientacyjny leżący na jednej z najkrótszych ścieżek je łączących.

#### SPG (graf najkrótszych ścieżek)

Dla dowolnych dwóch wierzchołków  $u$  i  $v$ , graf najkrótszych ścieżek (SPG) między  $u$  i  $v$  to podgraf  $G_{uv}$  grafu, gdzie:

1.  $V(G_{uv}) = \bigcup_{p \in P_{uv}} V(p)$
2.  $E(G_{uv}) = \bigcup_{p \in P_{uv}} E(p)$

Graf ten nie jest więc po prostu podgrafem indukowanym przez  $\bigcup_{p \in P_{uv}} V(p)$ , gdzie  $P_{uv}$  to zbiór najkrótszych ścieżek między wierzchołkami  $u$  i  $v$ . Każda jego krawędź musi być bowiem częścią najkrótszej ścieżki między  $u$  i  $v$ .

#### Problem SPG

Niech  $G = (V, E)$  oraz  $u, v \in V$ . Problem SPG polega na znalezieniu odpowiedzi na zapytanie  $SPG(u, v)$ , czyli grafu najkrótszych ścieżek  $G_{uv}$  dla  $G$ . W niniejszej prezentacji będziemy dla uproszczenia zakładali, że graf jest nieskierowany, spójny i nie jest ważony. W ogólności jednak te ograniczenia są możliwe do zrelaksowania.

### 2.2 Główne idee rozwiązań

## 3 Przegląd poprzednich rozwiązań

### 3.1 Klasyczne algorytmy

Algorytm Dijkstry -  $O(|E| + |V|\log(|V|))$  dla grafów ważonych. BFS -  $O(|E|)$  dla nieważonych. Nieefektywne na wielkich grafach.

### 3.2 Algorytmy dokładne dla dużych grafów

Np. PLL - etykietowanie 2-hop. IS-label - dla ważonych grafów, oparte o niezależne zbiory wierzchołków.

### 3.3 Algorytmy aproksymacyjne

Niektórzy naukowcy porzucili wymagania co do dokładności odpowiedzi na rzecz aproksymacji. Jendym z pomysłów było np. wstępne wyliczenie ścieżek z każdego wierzchołka do każdego punktu orientacyjnego, a następnie zwracanie połączonych ścieżek do tychże punktów.

## 4 QbS

### 4.1 Idea

---

**Algorithm 2:** Constructing a labelling scheme  $\mathcal{L}$ 

---

**Input:**  $G = (V, E)$ ; a set of landmarks  $R \subseteq V$

**Output:** A labelling scheme  $\mathcal{L} = (M, L)$  with

$M = (R, E_R, \sigma)$ .

```
1  $E_R \leftarrow \emptyset; L(v) \leftarrow \emptyset$  for all  $v \in V$ 
2 for all  $r_i \in R$  do
3    $Q_L \leftarrow \emptyset; Q_N \leftarrow \emptyset;$ 
4    $Q_L.\text{push}(r_i);$ 
5    $\text{depth}[r_i] \leftarrow 0; \text{depth}[v] \leftarrow \infty$  for all  $v \in V \setminus \{r_i\};$ 
6    $n \leftarrow 0;$ 
7   while  $Q_L$  and  $Q_N$  are not empty do
8     for all  $u \in Q_L$  at depth  $n$  do
9       for all unvisited neighbors  $v$  of  $u$  do
10          $\text{depth}[v] \leftarrow n + 1;$ 
11         if  $v$  is a landmark then
12            $Q_N.\text{push}(v);$ 
13            $E_R \leftarrow E_R \cup \{(r_i, v)\};$ 
14            $\sigma(r_i, v) \leftarrow \text{depth}[v];$ 
15         else
16            $Q_L.\text{push}(v);$ 
17            $L(v) \leftarrow L(v) \cup \{(r_i, \text{depth}[v])\};$ 
18     for all  $u \in Q_N$  at depth  $n$  do
19       for all unvisited neighbors  $v$  of  $u$  do
20          $\text{depth}[v] \leftarrow n + 1;$ 
21          $Q_N.\text{push}(v);$ 
22    $n \leftarrow n + 1;$ 
```

---

Rysunek 1: Pseudokod procedury etykietowania

---

**Algorithm 3:** Computing a sketch  $S_{uv}$ 

---

**Input:**  $\mathcal{L} = (M, L)$ , two vertices  $u$  and  $v$ .  
**Output:** A sketch  $S_{uv} = (V_S, E_S, \sigma_S)$

```
1  $V_S \leftarrow \emptyset, E_S \leftarrow \emptyset;$ 
2 for all  $\{r, r'\} \subseteq R$  do
3    $\pi_{rr'} \leftarrow +\infty;$ 
4   if  $(r, \delta_{ur}) \in L(u)$  and  $(r', \delta_{vr'}) \in L(v)$  then
5      $\pi_{rr'} \leftarrow \delta_{ur} + d_M(r, r') + \delta_{vr'};$ 
6  $d_{uv}^\top \leftarrow \min\{\pi_{rr'} \mid \{r, r'\} \subseteq R\};$ 
7 for all  $\{r, r'\} \subseteq R$  and  $\pi_{rr'} = d_{uv}^\top$  do
8    $E_S \leftarrow E_S \cup \{(u, r), (v, r')\};$ 
9    $\sigma_S(u, r) \leftarrow \delta_{ur}, \sigma_S(v, r') \leftarrow \delta_{vr'};$ 
10  for all  $(r_i, r_j)$  in the shortest path graph of  $(r, r')$  in  $M$  do
11     $E_S \leftarrow E_S \cup \{(r_i, r_j)\};$ 
12     $\sigma_S(r_i, r_j) \leftarrow \sigma(r_i, r_j);$ 
13  $V_S \leftarrow V(E_S);$ 
```

---

Rysunek 2: Pseudokod procedury szkicowania

## 4.2 Przykład

## 4.3 Etykietowanie

Niech  $G = (V, E)$  - graf,  $R \subset V$  - zbiór punktów orientacyjnych spełniający  $|R| \ll |V|$ . Schemat QbS zaczyna się od przetwarzania wstępnego, którego celem jest znalezienie kompaktowej reprezentacji najkrótszych ścieżek pomiędzy punktami orientacyjnymi, zwanej meta-grafem grafu  $G$ . Następnie, bazując na tymże meta-grafie, tworzymy etykietowanie, każdemu wierzchołkowi przypisując każdemu wierzchołkowi taką etykietę, aby móc efektywnie policzyć szkic dla zapytania  $SPG(u, v)$  dla dowolnych  $u$  i  $v$ .

### Meta-graf

Meta grafem nazywamy trójkę  $M = (R, E_R, \sigma)$ , gdzie  $E_R \subset R \times R$  jest zbiorem krawędzi postaci  $(r, r')$  spełniających warunek, że przynajmniej jedna najkrótsza ścieżka między  $r$  i  $r'$  w oryginalnym nie przechodzi przez żaden inny punkt orientacyjny.  $\sigma : E_R \rightarrow \mathbb{N}$  przypisuje każdej krawędzi w  $E_R$  wagę równą długości najkrótszej ścieżki. Przykład ukazano na rysunku 4.

### System etykietowania (ang. *Labelling scheme*)

System etykietowania  $\mathcal{L} = (M, L)$  składa się z meta-grafu  $M$  oraz etykietowania, które przypisuje każdemu wierzchołkowi  $u \in V \setminus R$  etykietę  $L(u)$  taką że:

$$L(u) = \{(r, \delta_{ur}) : r \in R, \delta_{ur} = d_G(u, r), (\exists p \in P_{ur})(V(p) \cap Rr)\}$$

Innymi słowy, para  $(r, \delta_{ur})$  jest częścią etykiety  $L(u)$  tylko, jeśli istnieje co najmniej jedna najkrótsza ścieżka między  $u$  i  $r$ , która nie zawiera innych punktów orientacyjnych.

---

**Algorithm 4:** Searching on  $G[V \setminus R]$ 

---

**Input:**  $G^- = G[V \setminus R]$ ,  $S_{uv}$ ,  $\mathcal{L} = (M, L)$   
**Output:** A shortest path graph  $G_{uv}$

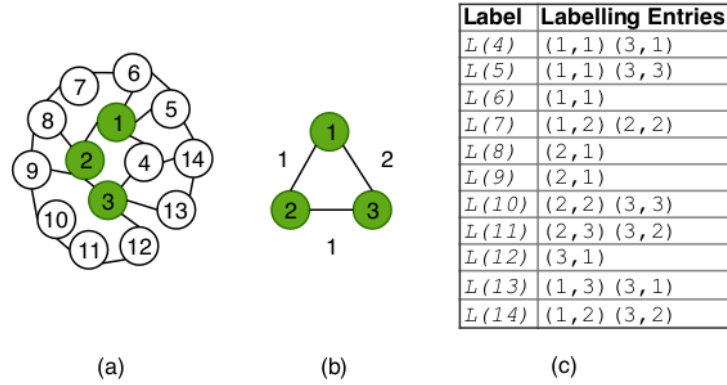
```
1  $d_{uv}^\top, d_u^*, d_v^* \leftarrow \text{get\_bound}(S_{uv});$ 
2  $P_u \leftarrow \emptyset, P_v \leftarrow \emptyset, d_u \leftarrow 0, d_v \leftarrow 0;$ 
3 Enqueue  $u$  to  $Q_u$  and  $v$  to  $Q_v$ ;
4  $\text{depth}_u[w] \leftarrow \infty, \text{depth}_v[w] \leftarrow \infty$  for all  $w \in V \setminus R$ ;
5  $\text{depth}_u[u] \leftarrow 0, \text{depth}_v[v] \leftarrow 0;$ 
6 while  $d_u + d_v < d_{uv}^\top$  do
7    $t \leftarrow \text{pick\_search}(P_u, P_v, d_u^*, d_v^*, d_u, d_v);$ 
8   if  $t = u$  then
9      $Q_u \leftarrow \text{forward\_search}(Q_u);$ 
10  if  $t = v$  then
11     $Q_v \leftarrow \text{backward\_search}(Q_v);$ 
12     $P_t \leftarrow P_t \cup Q_t; d_t \leftarrow d_t + 1;$ 
13     $\text{depth}_t[w] \leftarrow d_t$  for  $w \in Q_t$ ;
14    if  $P_u \cap P_v$  is not empty then
15      break;
16 if  $P_u \cap P_v \neq \emptyset$  then
17    $G_{uv}^- \leftarrow \text{reverse\_search}(P_u \cap P_v, G^-, \text{depth}_u, \text{depth}_v);$ 
18 if  $d_u + d_v = d_{uv}^\top$  then
19    $Z \leftarrow \emptyset;$ 
20   for all  $(r, t) \in E_S$  with  $t \in \{u, v\}$  do
21      $d_m \leftarrow \min\{\sigma_S(r, t) - 1, d_t\};$ 
22     for all  $w$  with  $\text{depth}_t[w] = d_m, (r, \delta_{wr}) \in L(w),$ 
23        $\delta_{wr} + d_m = \sigma_S(r, t)$  do
24          $Z \leftarrow Z \cup \{(w, r)\};$ 
25    $G_{uv}^\mathcal{L} \leftarrow \text{recover\_search}(S_{uv}, \mathcal{L}, Z, G^-, \text{depth}_u, \text{depth}_v);$ 
26  $G_{uv} \leftarrow G_{uv}^- \cup G_{uv}^\mathcal{L};$ 
```

---

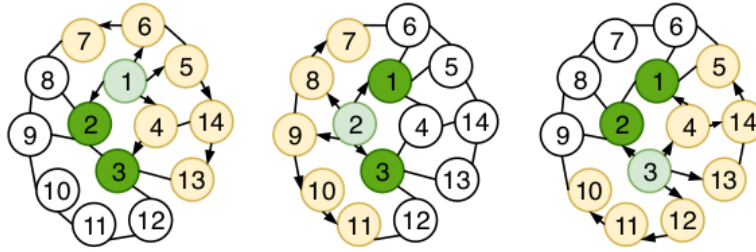
Rysunek 3: Pseudokod przeszukiwania kierowanego szkicem

### Algorytm 1

Algorytm etykietowania ukazano na obrazku 1. Wykonujemy BFS dla każdego punktu orientacyjnego  $r$ . Wykorzystujemy dwie kolejki do przechowywania odwiedzonych wierzchołków, zależnie od tego, czy mają one zostać zaetykietowane z wykorzystaniem  $r$ , czy też nie. Wszystkie wierzchołki oprócz  $r$  są na początku niezaetykietowane. Dla każdego wierzchołka w kolejce zaetykietowanych z  $r$  na  $n$ -tym poziomie BFS rozpatrujemy nieodwiedzonych sąsiadów i oznaczamy ich jako odwiedzonych. Jeśli dany sąsiad jest punktem orientacyjnym to dodajemy krawędź do meta-grafu i ustawiamy głębokość jako dystans w funkcji  $\sigma$ . W przeciwnym przypadku dodajemy parę  $(r, \text{depth}(v))$  do etykiety  $L(V)$ , a sam wierzchołek  $v$  do kolejki wierzchołków zaetykietowanych z  $r$ . Następnie rozpatrujemy kolejkę niezaetykietowanych na  $n$ -tym poziomie i wszystkich nieodwiedzonych sąsiadów dodajemy do kolejki niezaetykietowanych. Powtarzamy na kolejnych poziomach aż do przetworzenia wszystkich wierzchołków. Przykład ukazano na rysunku 4



Rysunek 4: Pseudokod przeszukiwania kierowanego szkicem



Rysunek 5: Przykład etykietowania kolejno dla wierzchołków 1, 2 i 3

#### 4.4 Szkicowanie grafu najkrótszych ścieżek

Aby móc efektywnie odpowiedzieć na zapytanie  $SPG(u, v)$  niezbędne jest przygotowanie szkicu danych dla wierzchołków  $u$  i  $v$ . Będzie on oparty o schemat  $\mathcal{L}$ .

##### Szkic

Szkicem dla  $SPG(u, v)$  na podstawie  $\mathcal{L}$  nazywamy trójkę  $S_{uv} = (V_S, E_S, \sigma_S)$ , gdzie  $V_S = \{u, v\} \cup R$  jest zbiorem wierzchołków,  $E_S$  zbiorem krawędzi, a  $\sigma_S \rightarrow \mathbb{N}$  zachowuje  $\sigma_S(u', v') = d_G(u', v')$ . Trójka ta zachowuje warunek, że  $E_S$  zawiera jedynie krawędzie na ścieżkach między  $u$  i  $v$  o minimalnej długości, a więc:

$$d_{uv}^T = \min_{(r, r')} \{ \delta_{ru} + d_M(r, r') + \delta_{r'v} : (r, \delta_{ru}) \in L(u), (r', \delta_{r'v}) \in L(v) \}$$

Oczywiście, zachodzi własność  $d_{uv}^T \geq d_G(u, v)$ .

##### Algorytm 2

Algorytm ukazany na rysunku 3 tworzy omawiany szkic. Najpierw, zbiory wierzchołków i krawędzi w szkicu są puste. Zaczynamy od sprawdzenia wszystkich par punktów orientacyjnych, wyznaczając najkrótszą ścieżkę z  $u$  do  $v$  przechodzącą przez oba te punkty używając etykiet i meta-grafu. Najkrótsza otrzymana ścieżka to  $d_{uv}^T$ . Następnie, dla wszystkich wyznaczonych ścieżek o takiej długości, dodajemy ich krawędzie do zbioru krawędzi szkicu, łącznie z krawędziami łączącymi  $u$  i  $v$  z punktami obserwacyjnymi. Analogicznie, do zbioru dodajemy wszystkie wierzchołki na tych ścieżkach.

## 4.5 Przeszukiwanie kierowane

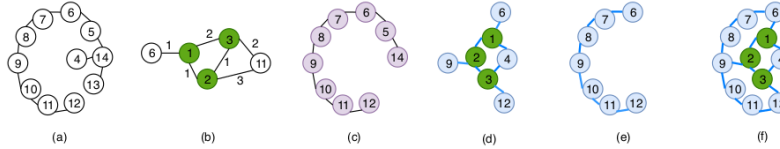
Ostatnim i zasadniczym krokiem w procesie odpowiedzi na zapytanie jest właściwe przeszukiwanie. Aby ograniczyć liczbę przetwarzanych krawędzi, będziemy korzystać ze szkicu  $S_{uv}$  utworzonego w poprzednim kroku. Dodatkowo przeszukiwanie możemy przeprowadzić na grafie  $G[V \setminus R]$ , a więc bez punktów orientacyjnych i krawędzi do nich prowadzących. Przy dobrym wyborze punktów orientacyjnych może to zauważalnie ograniczyć rozmiar przeszukiwanej przestrzeni. Oczywiście długość najkrótszej ścieżki w takim ograniczonym grafie może być większa niż w oryginalnym, ale liczbę kroków przeszukiwania możemy ograniczyć przez obliczoną wcześniej wartość  $d_{uv}^T$ .  $S_{uv}$  pozwala na wyznaczenie dwukierunkowej sekwencji poszukiwań. Konkretnie, dla  $t \in \{u, v\}$  mamy

$$d_t^* = \max_{(r,t) \in E_S} \sigma_S(r, t) - 1$$

Wartość ta wyznacza liczbę kroków poszukiwań ze strony  $u$  i  $v$ . Przeszukiwanie ma trzy fazy:

1. Dwukierunkowe przeszukiwanie BFS - 'naprzód' dla wierzchołka  $u$  i 'wstecz' dla wierzchołka  $v$ . Kończy się ona po napotkaniu wspólnych wierzchołków lub przekroczeniu limitu kroków.
2. Przeszukiwanie odwrotne, które odwraca poprzednie kroki, aby skonstruować najkrótsze ścieżki w  $G^-$ .
3. Wyszukiwanie odzyskujące (ang. *Recovery search*) konstruuje ścieżki przechodzące przez  $R$ .

Oczywiście dwa ostatnie kroki wykonujemy kondycyjnie, zależnie od wyniku pierwszego. Przechowujemy kolejki  $P_u$  i  $P_v$ , przechowujące wierzchołki odwiedzone w przeszukiwaniu odpowiednio z  $u$  i  $v$  oraz głębokości poszukiwań  $d_u$  i  $d_v$ . Kolejki  $Q_u$  i  $Q_v$  zawierają wierzchołki odwiedzone na poziomach  $d_u$  i  $d_v$ . Na początku  $P_u$  i  $P_v$  są puste. W każdej iteracji pętli pierwszego kroku wybieramy  $u$  albo  $v$  bazując na głębokości poszukiwań i rozmiarze kolejek i powtarzamy do momentu znalezienia najkrótszych ścieżek lub osiągnięcia limitu. Jeśli znaleźliśmy w ten sposób ścieżkę, to wykonujemy przeszukiwanie wstecz. Na końcu sprawdzamy ścieżki zawierające punkty orientacyjne. Przykład zaprezentowano na rysunku 6.



Rysunek 6: Pseudokod procedury etykietowania

### Algorytm 3

Odpowiedź  $G_{uv}$  może więc być wyznaczona w następujący sposób (ozn,  $G^- = G[V \setminus R]$ ).

$$G_{uv} = \begin{cases} G_{uv}^{\mathcal{L}} & \text{jeśli } d_{G^-}(u, v) > d_{uv}^T, \\ G_{uv}^{\mathcal{L}} \cup G_{uv}^- & \text{jeśli } d_{G^-}(u, v) = d_{uv}^T, \\ G_{uv}^- & \text{wp.p.} \end{cases}$$

gdzie  $G_{uv}^{\mathcal{L}}$  na najkrótsza ścieżka przechodząca przez co najmniej jeden punkt orientacyjny.

## 4.6 Poprawność (szkic)

1. Należy pokazać, że wyznaczone etykietowanie spełnia definicję systemu etykietowania, co sprowadza się do zauważania, że algorytm do etykiety każdego wierzchołka dodaje tylko i wyłącznie te punkty orientacyjne, do których najkrótsza ścieżka nie prowadzi przez inne punkty orientacyjne. Jest to oczywiste po przeanalizowaniu pseudokodu.

2. Trzeba udowodnić, iż szkic skonstruowany w drugim kroku QbS spełnia definicję szkicu dla  $SPG(u, v)$ . Jest to dość oczywiste, gdyż algorytm najpierw znajduje parę punktów minimalizującą  $\{\delta_{ru} + d_M(r, r') + \delta_{r'v} : (r, \delta_{ru}) \in L(u), (r', \delta_{r'v}) \in L(v)\}$ , a potem dodaje odpowiednie krawędzie do szkicu.
3. Ostatecznie wykazujemy, że trzeci algorytm rzeczywiście konstruuje prawidłowy graf najkrótszych ścieżek  $G_{uv}$ . Oczywiście każda ścieżka nieprzechodząca przez zbiór punktów orientacyjnych może być skonstruowana przez przeszukiwanie  $G^-$  z użyciem dwukierunkowego BFS. Jeśli ścieżka przechodzi przez  $R$ , to odpowiednie wierzchołki z  $R$  znajdują się w  $S_{uv}$  i ścieżki je zawierające są wyliczane w ostatnim kroku algorytmu.

## 4.7 Złożoność czasowa (szkic)

W algorytmie etykietowania czas wykonania BFS jest  $O(|E|)$ , co daje łączną złożoność etykietowania  $O(|R||E|)$ . Przyjmujemy, że  $|R| = O(1)$ , np.  $|R| = 20$ . Złożoność szkicowania wynosi  $O(|R|^4)$ , ale może zostać zmniejszona do  $O(|R|^2)$  przez wcześniejsze obliczenie i zapamiętanie najkrótszych ścieżek między parami punktów orientacyjnych na meta-grafie. Czas przeszukiwania to z kolei  $O(|E| + |R||V|)$  lub też  $O(|E^*| + |V|)$ , gdzie  $|E^*|$  jest liczbą krawędzi odchudzonego grafu.

## 4.8 Urównoleglenie

Łatwo pokazać, że dla danego zbioru punktów orientacyjnych  $R$  w  $G$ , istnieje dokładnie jeden system etykietowania  $\mathcal{L}$  spełniający definicję, jego wybór jest więc oczywiście deterministyczny. Pozwala to łatwe urównoleglenie algorytmu etykietowania.

## 4.9 Złożoność pamięciowa

Autorzy nie przeprowadzają dokładnej analizy złożoności pamięciowej. Łatwo jednak zauważyć, że dodatkowo wykorzystana pamięć nie przekracza w asymptotyce tej koniecznej do reprezentacji grafu. Można więc założyć, że wynosi ona  $O(|E|)$ . Eksperymenty zdają się wykazywać w tym wypadku złożoność liniową.

## 4.10 Zależność od liczby punktów orientacyjnych

Generalnie dla grafów w których stopnie wierzchołków są zróżnicowane, wybór większej liczby punktów orientacyjnych (w szczególności tych o wysokim stopniu), skraca czas zapytań. Inaczej sprawa ma się w grafach o dość jednostajnych stopniach, gdzie zwiększony czas obliczania szkicu może pogorszyć ogólne rezultaty. Oczywiście większa liczba punktów orientacyjnych zwiększa wykorzystanie pamięci

# 5 Zakończenie

Dziękuję słuchaczom za uwagę i życzę miłego dnia.